

京都大学 髙田淳史

谷森達,窪秀利,水本哲矢,水村好貴,古村翔太郎 岸本哲朗,竹村泰斗,中增勇真,吉川慶,谷口幹幸,中村優太 園田真也,中村輝石,松岡佳大,Parker Joseph,宮本奨平 友野大,黒澤俊介,身内賢太朗,澤野達哉

- > MeVガンマ線天文学
- > 電子飛跡検出型コンプトン望遠鏡
- ➤ SMILE-2+/3の設計と期待される観測
- > まとめ

### MeVガンマ線天文学

◆ 元素合成

SNR:放射性同位体

銀河面: 26 AI • 電子陽電子対消滅線

◆ 粒子加速

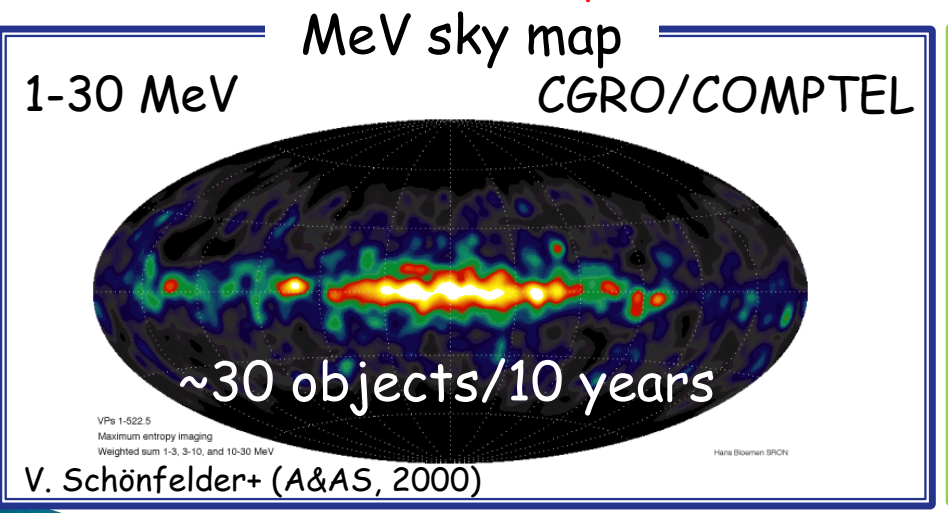
ジェット (AGN): シンクロトロン + 逆コンプトン

◆ 強い重力場

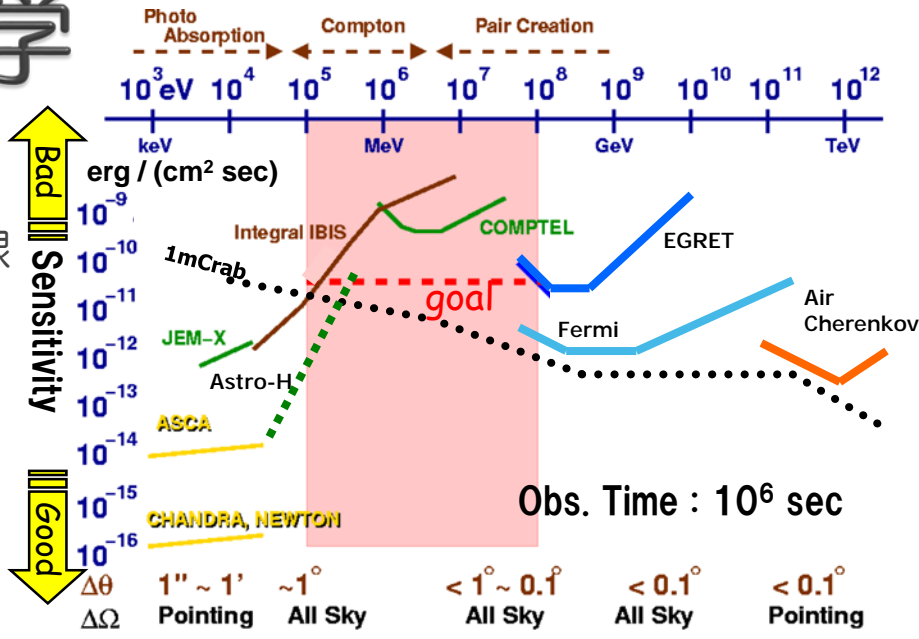
Black hole: 降着円盤,  $\pi^0$ 

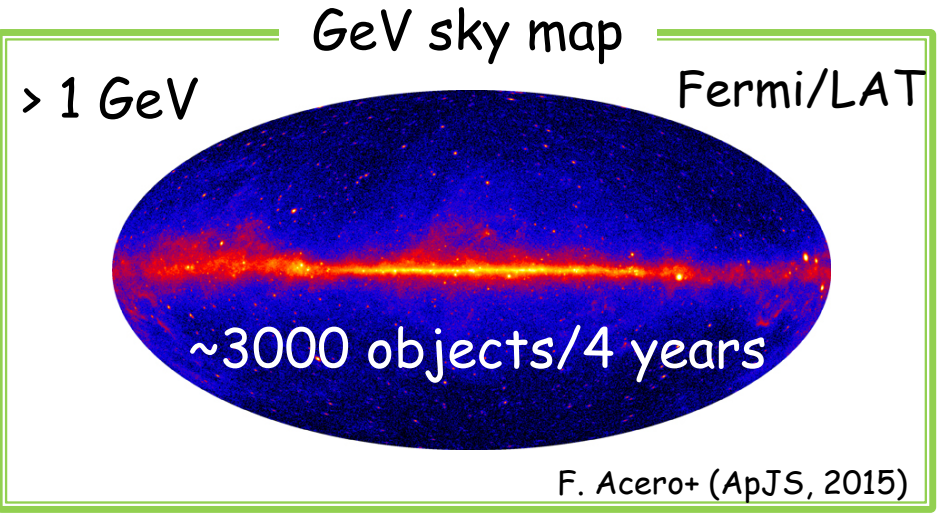
Etc.

ガンマ線パルサー,太陽フレア



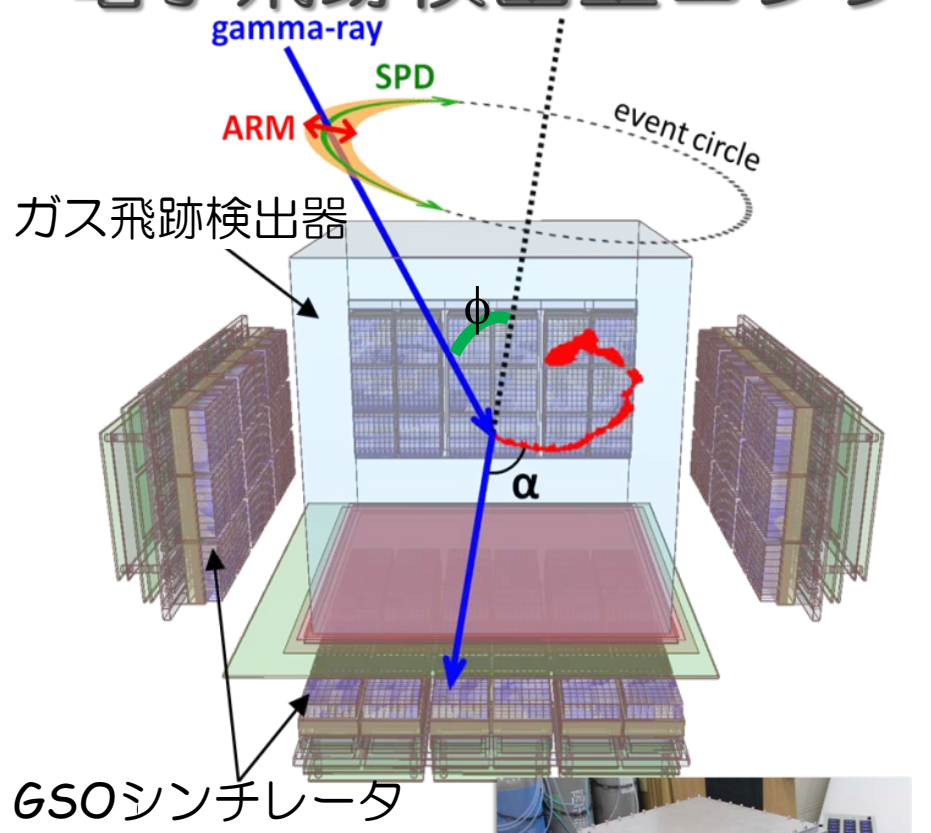
次世代MeVガンマ線望遠鏡への要請





- 数百keV ~ 100 MeVの広帯域
- 全天探査の為の広い視野
- 高S/Nの鮮明な画像

#### 電子飛跡検出型コンプトン望遠鏡 (ETCC)

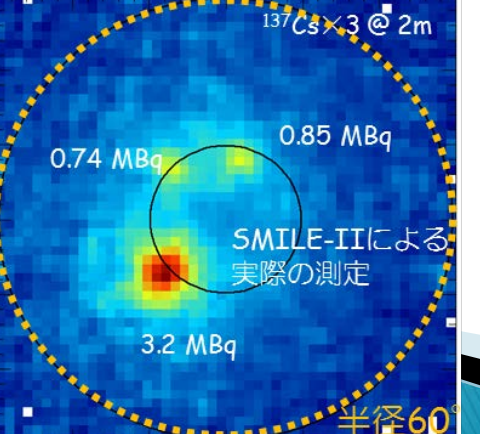


- ▶ガス飛跡検出器 コンプトン反跳電子の 飛跡とエネルギー
- ピクセルシンチレータアレイ コンプトン散乱ガンマ線の 吸収点とエネルギー



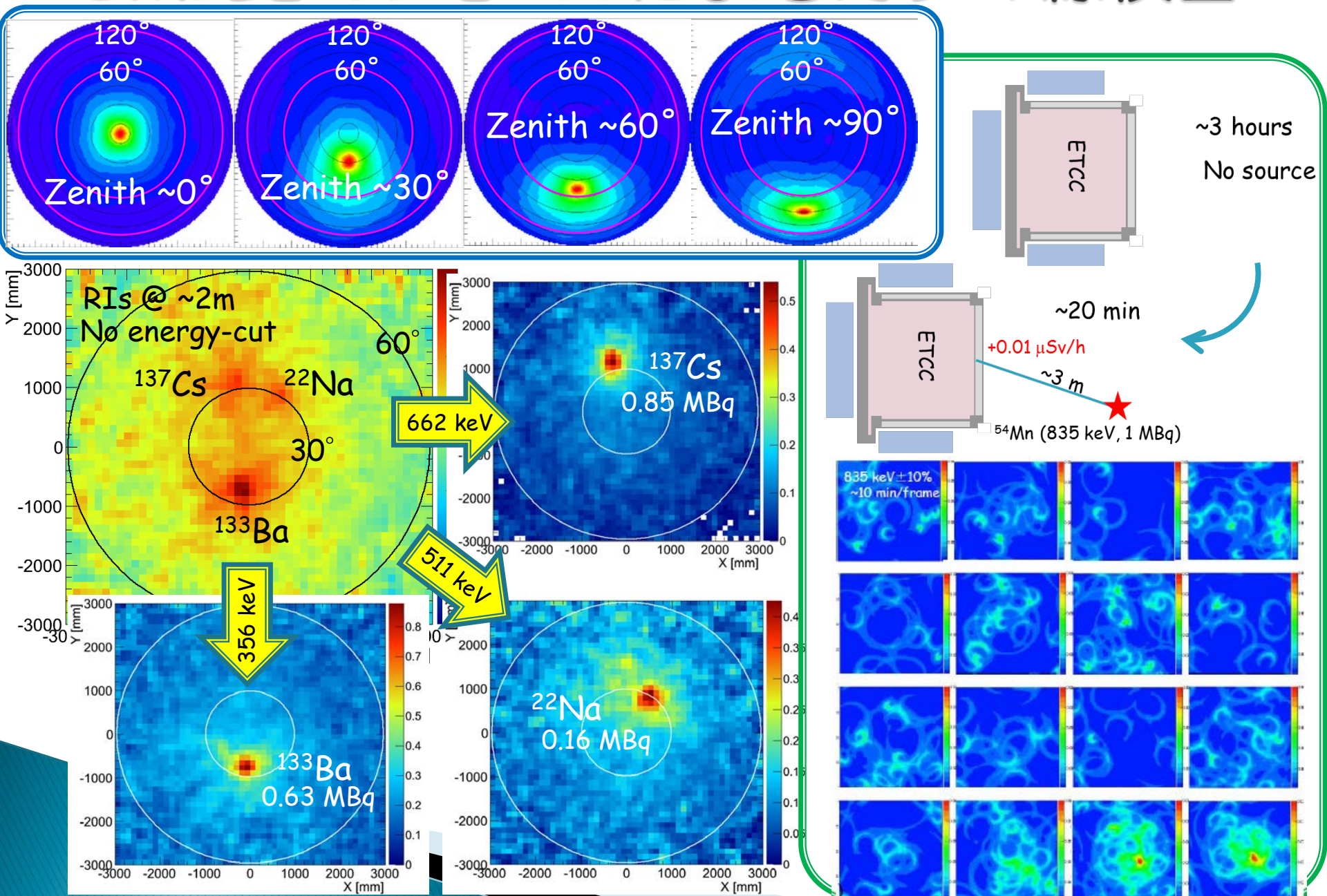
検出事象ごとに コンプトン散乱を完全に再現

- 到来方向とエネルギーを一意に特定
- 大きな視野 (~3 sr)
  - 電子飛跡による鋭いPSF
    - ⇒ 範囲外の雑音をイメージングで除去
  - α角によるコンプトン散乱運動学テストと dE/dxによる粒子識別による雑音除去能力
    - ⇒ 重いVETO検出器が不要



SMILE-II ETCC

## SMILE-II ETCCによるガンマ線検出



#### Sub-MeV gamma-ray Imaging Loaded-on-balloon Experiment

SMILE-I @ 三陸 (Sep. 1st 2006)

10 cm角, Xe+Ar 1気圧

- ➤ 気球高度におけるETCCの動作試験
- ▶ 宇宙拡散・大気ガンマ線の観測 (100 keV ~ 1 MeV)
  - ⇒ 気球高度において安定に動作 他の観測と矛盾のないスペクトル A. Takada+, ApJ, 2011

#### SMILE-II 未放球

30 cm角, Ar 1気圧

▶ 地上試験 ⇒ 有効面積: ~1 cm² @ <300 keV</p>

ARM: 5.3度 SPD: ~100度@662 keV

⇒ PSF: ~15度@662 keV

#### SMILE-II+

30 cm角, Ar >1気圧

- ➤ 明るい天体のイメージングが目標 511 keV from G.C. @ Alice Spring Crab nebula/Cyg X-1 @ Fort Sumner
- ▶ 目標 有効面積: ~数cm² @ <300 keV</p>

PSF:~5度@662 keV

#### SMILE-III

30 cm角, CF<sub>4</sub> 3気圧

- > 長時間気球を用いた科学観測
- ▶ 目標 有効面積: ~10 cm² @ <300 keV</p>

PSF: <5度@ 662 keV

衛星による全天観測

50 cm角, CF<sub>4</sub> 3気圧

#### SMILE-IIからSMILE-II+へ

➤ 広帯域化

GSO 13 mm

⇒ 500 keVで40%は素通り 光電吸収は~25%

Ar 1気圧, 30 cm角 ⇒ 測定できる反跳電子は せいぜい150 keV以下



◆ GSOの厚みを増大

⇒ 散乱ガンマ線の検出確率大

◆ ガス容器内にGSOを設置

⇒ >150 keVの電子も測定



Ar 1気圧, 30 cm角 ⇒ ~50 keVの電子が受ける 多重散乱は~100度



◆ ガス容器内に*GSO*を設置

⇒ ~150 keVの電子の 多重散乱は~20度

#### > 有効面積の拡大

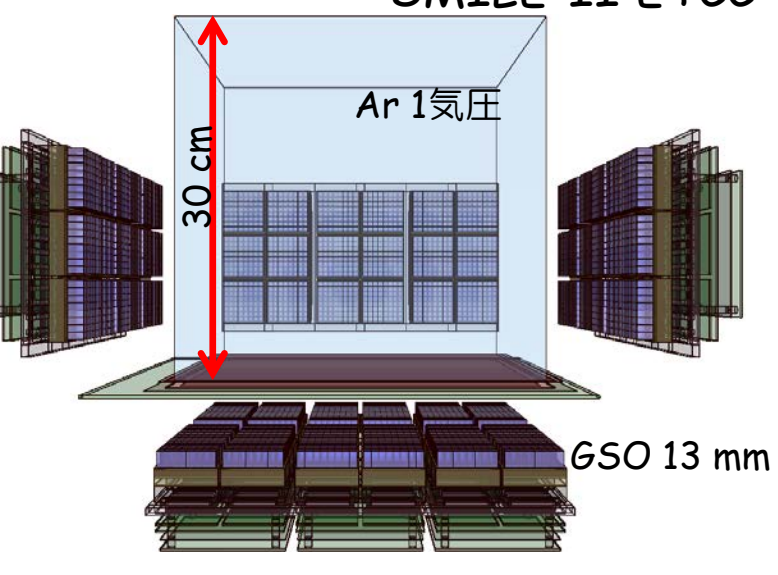
GSOシンチの位置 ⇒ 飛跡検出器を覆えていない



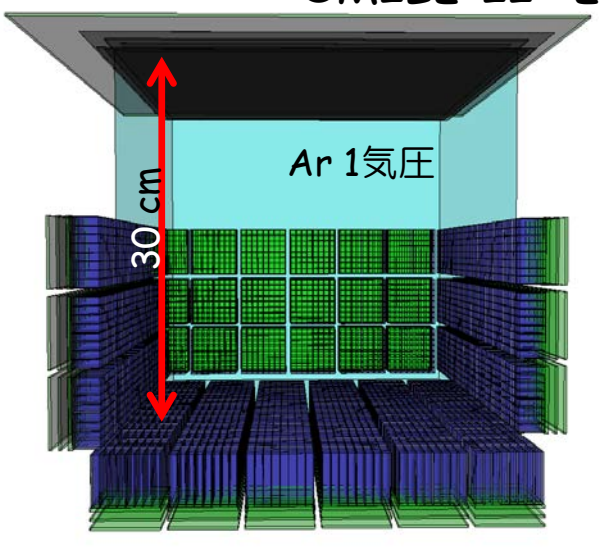
◆ ガス容器内にGSOを設置

⇒ シンチ間の隙間が激減

SMILE-II ETCC



SMILE-II+ ETCC



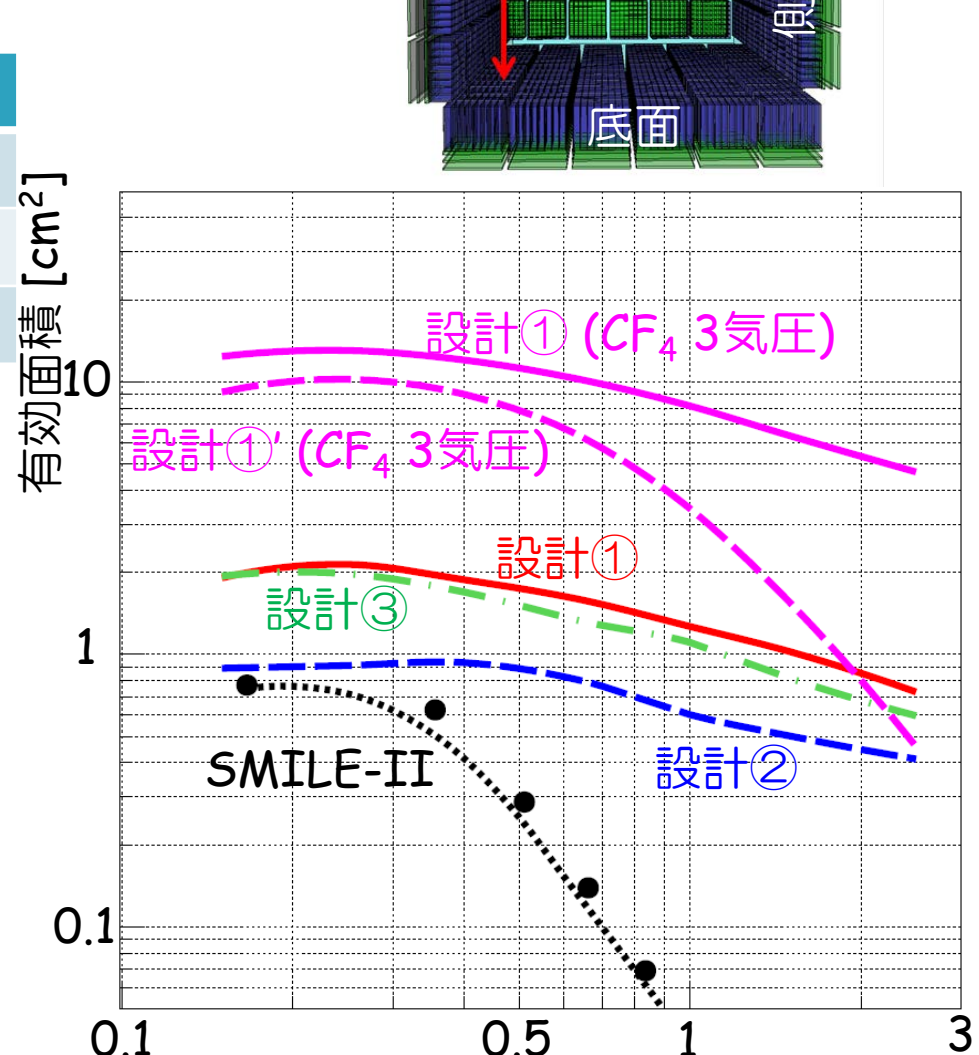
# SMILE-II+検出器設計

- 1. *GSO*の適切な厚みは?
- 2. 側面は必要か?

Geant4でシミュレーション

|   | 底面     | 側面       |
|---|--------|----------|
| 1 | 3 R.L. | 1.5 R.L. |
| 2 | 3 R.L. | _        |
| 3 | 2 R.L. | 1 R.L.   |

- ▶ 底面の厚みを増大 +電子の測定にGSOも使用⇒ 400 keV以上で大幅な改善
- ▶ 側面の効果 有効面積はおおよそ2倍
- ▶ 適切な厚み150 keV~1.5 MeVの範囲では2放射長以上に大きな差はない視野の点では①の方が少し有利

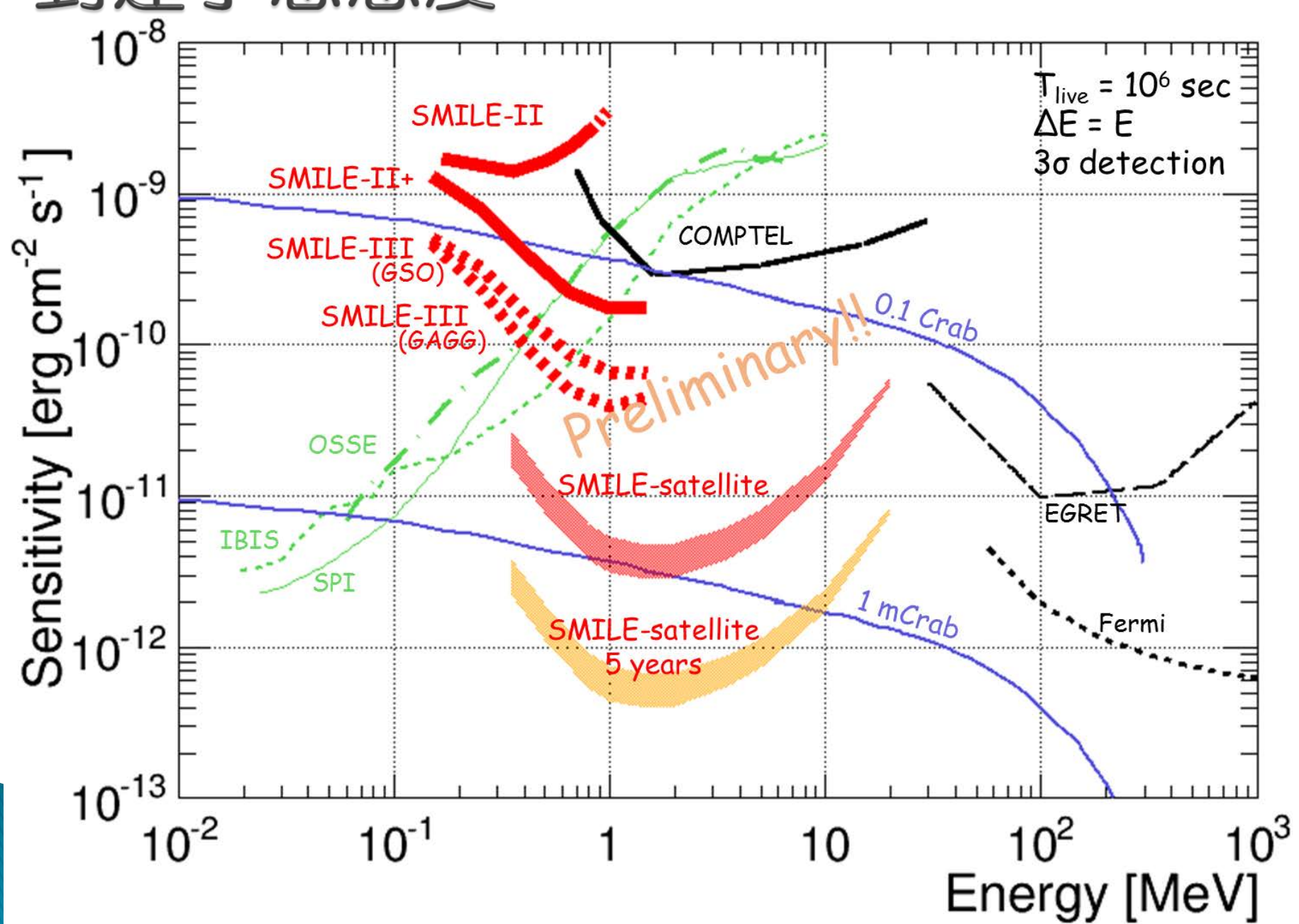


SMILE-II+ ETCC

Energy [MeV]

Ar 1気圧

# 到達予想感度



### 銀河面拡散核ガンマ線観測の現状

- ◆ <sup>26</sup>AI (1.809 MeV)
  - AGB星
  - Wolf-Rayet星
  - 重力崩壊型超新星爆発
  - 新星のアウトフロー

等で生成



 $^{26}AI \rightarrow ^{26}Mg + \gamma (1.809 MeV)$ 

半減期 7×105 年

HEAO-Cで発見後, SMMでも確認

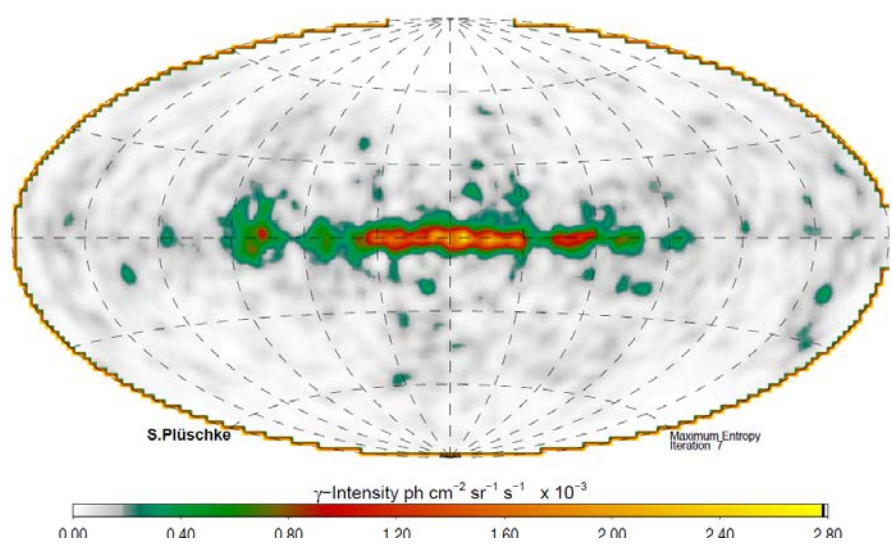
W. A. Mahoney+, ApJ (1982), G. H. Share+, ApJ (1985)

COMPTEL

S. Plüschke+, ESASP (2001)

N. Prantzos & R. Diehl, Physics Reports (1996)

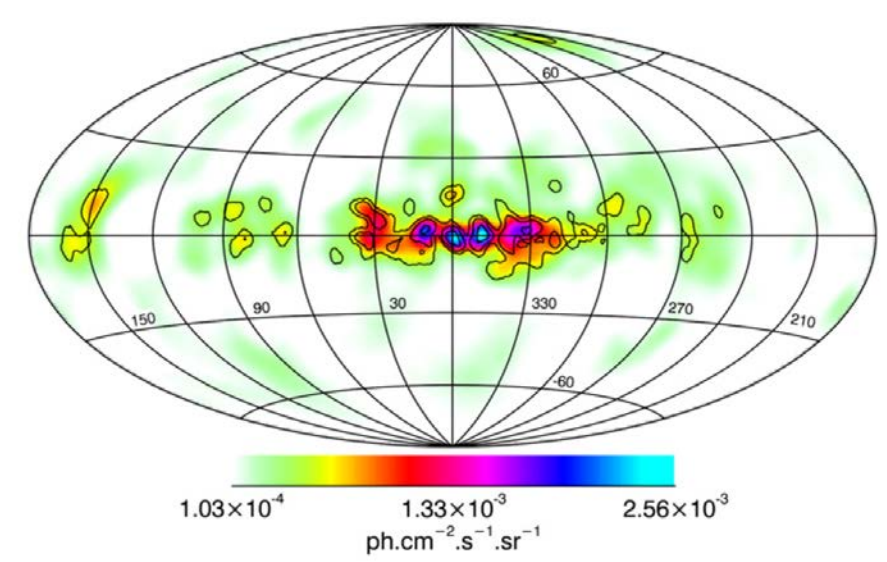
J. Knödlseder+, A&A (1999)



- 銀河面に広く分布
- X線やNIRとは良い一致は見られない
- マイクロ波やFIR (DIRBE 240μm)とは 粗い一致が見られる

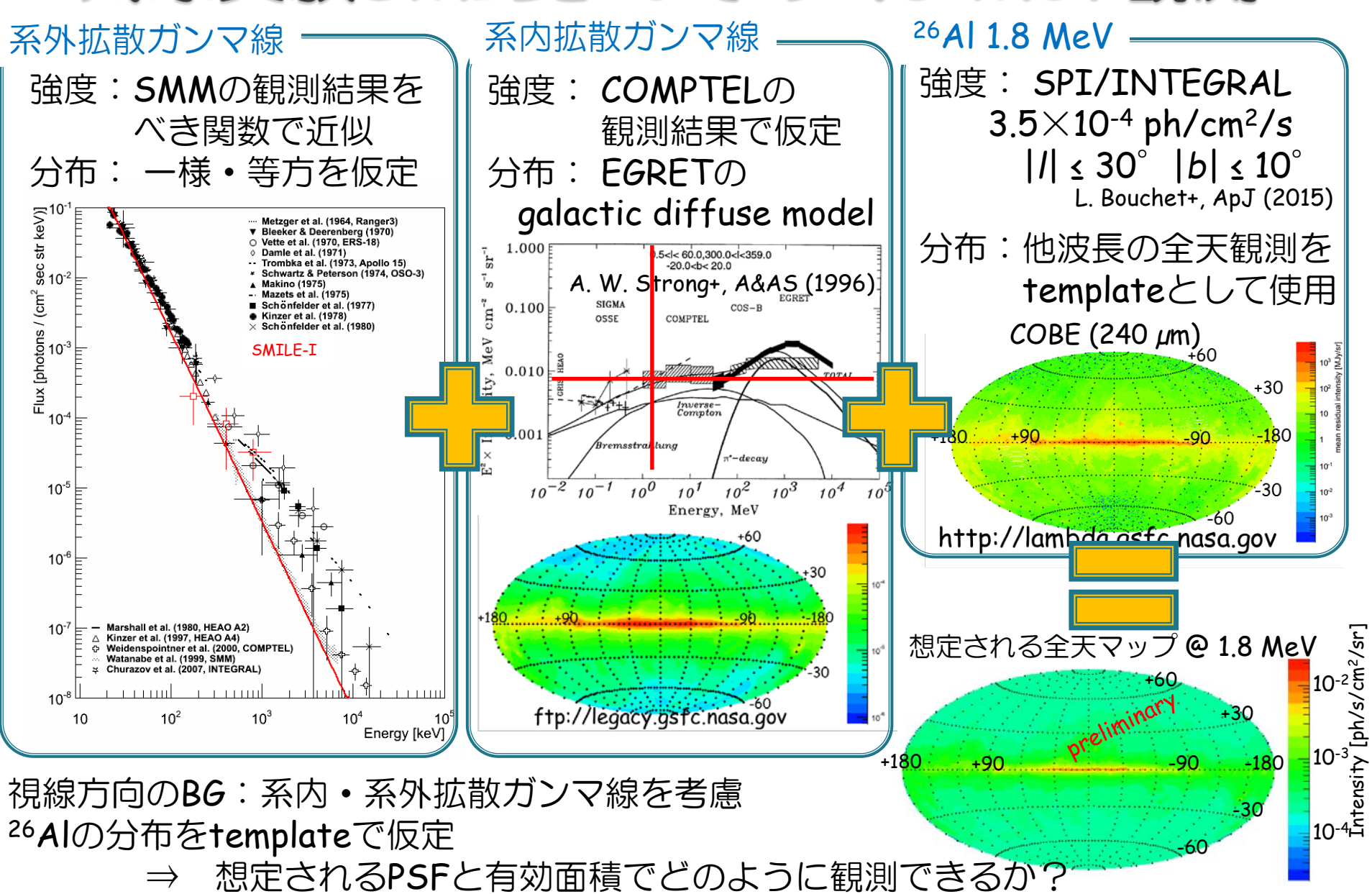
SPI/INTEGRAL

L. Bouchet+, ApJ (2015)



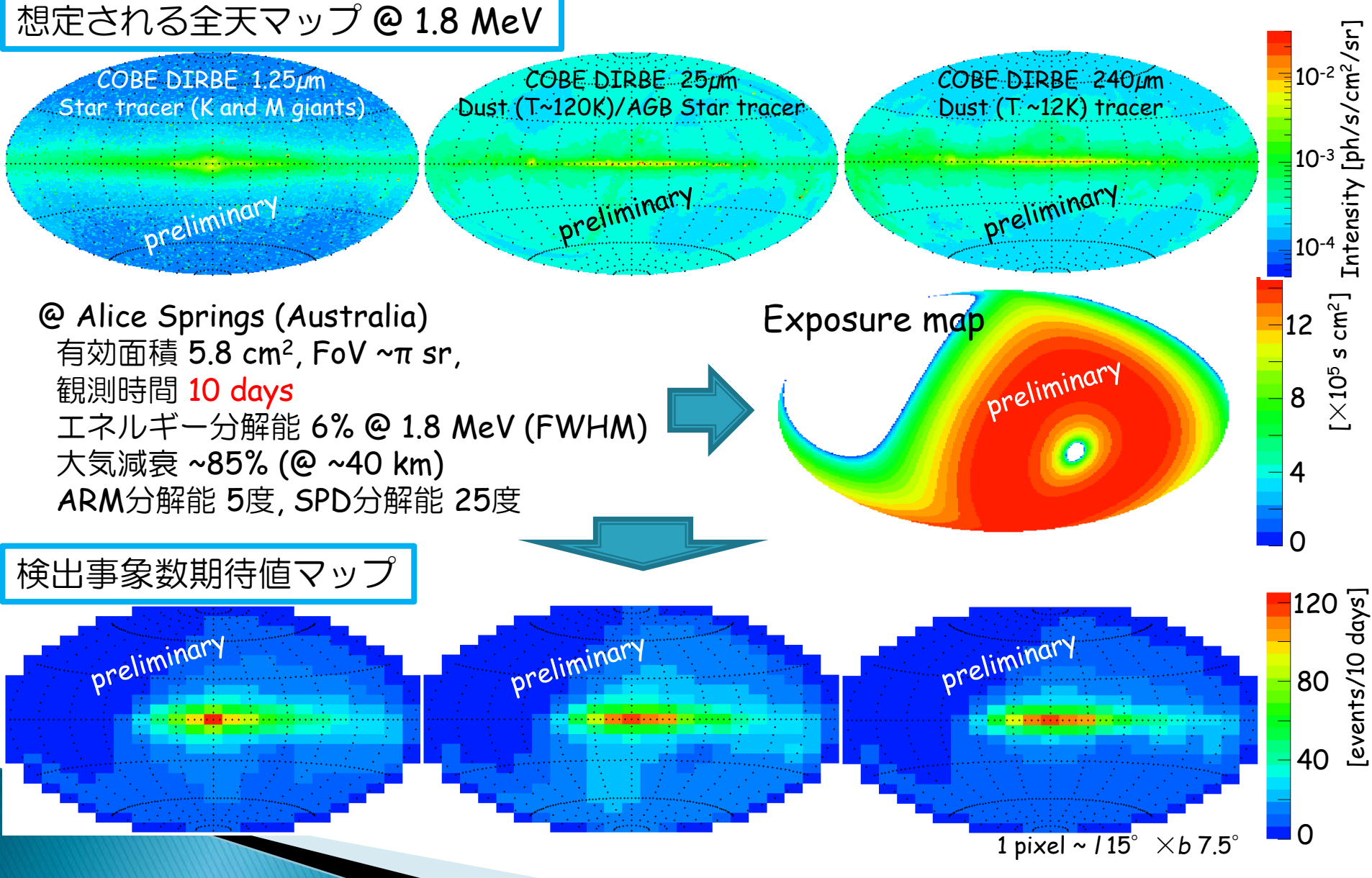
- マイクロ波やFIRとは粗い一致
- 他にもMIRとも矛盾しない

#### 気球実験SMILE-3での1.8 MeV観測



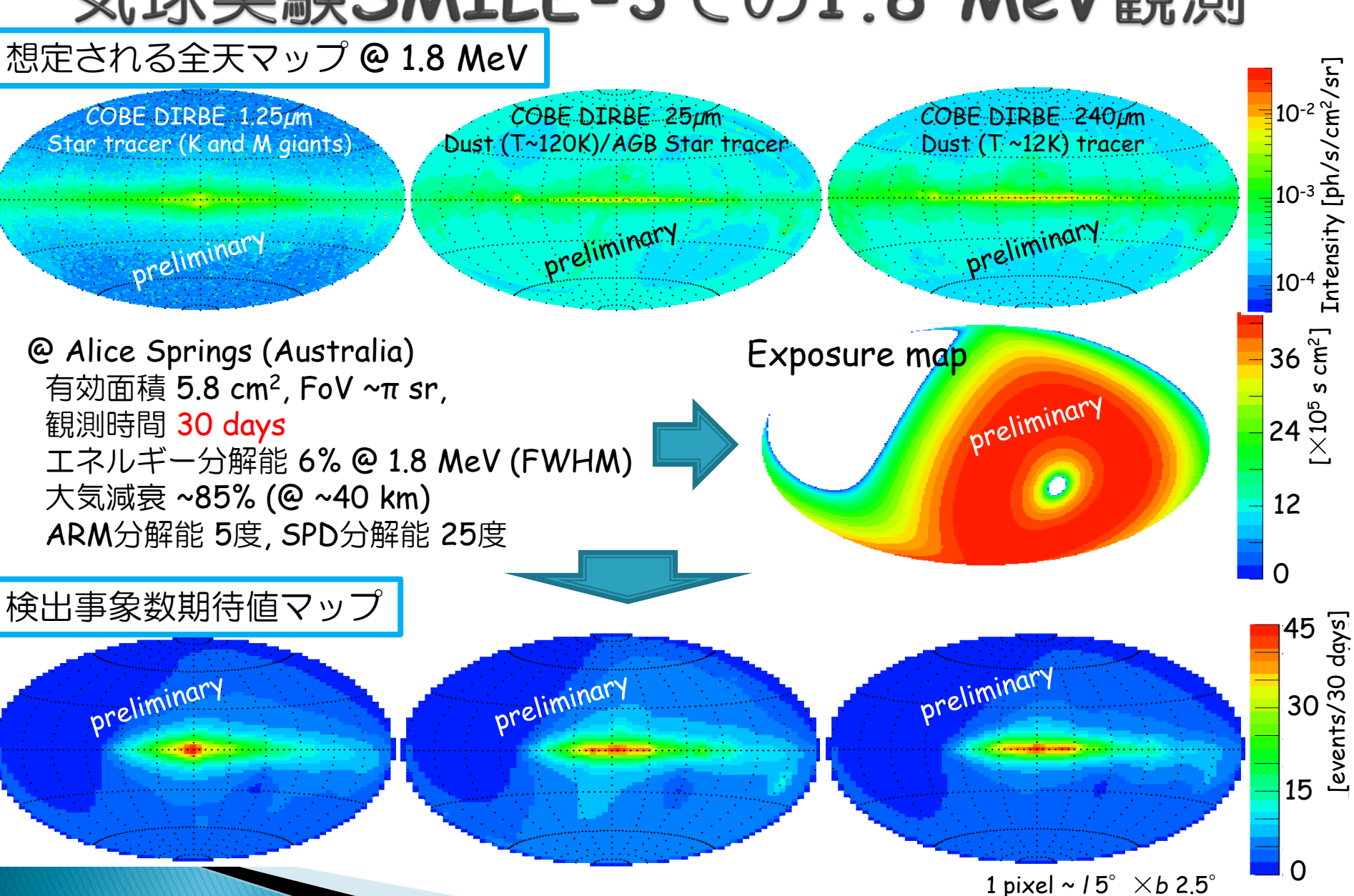
#### 気球実験SMILE-3での1.8 MeV観測





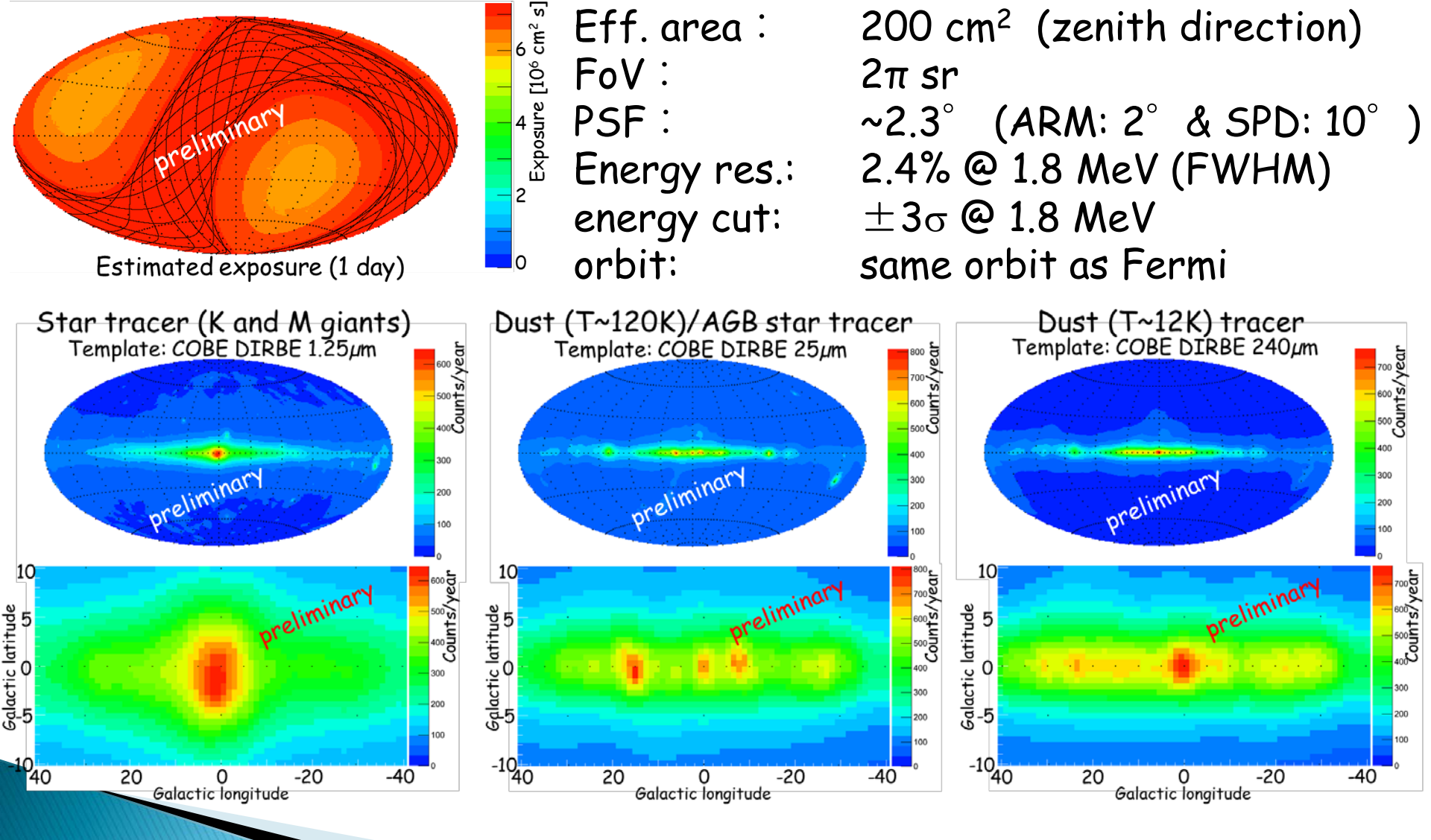
銀河中心領域に有意な超過が期待できる

### 気球実験SMILE-3での1.8 MeV観測



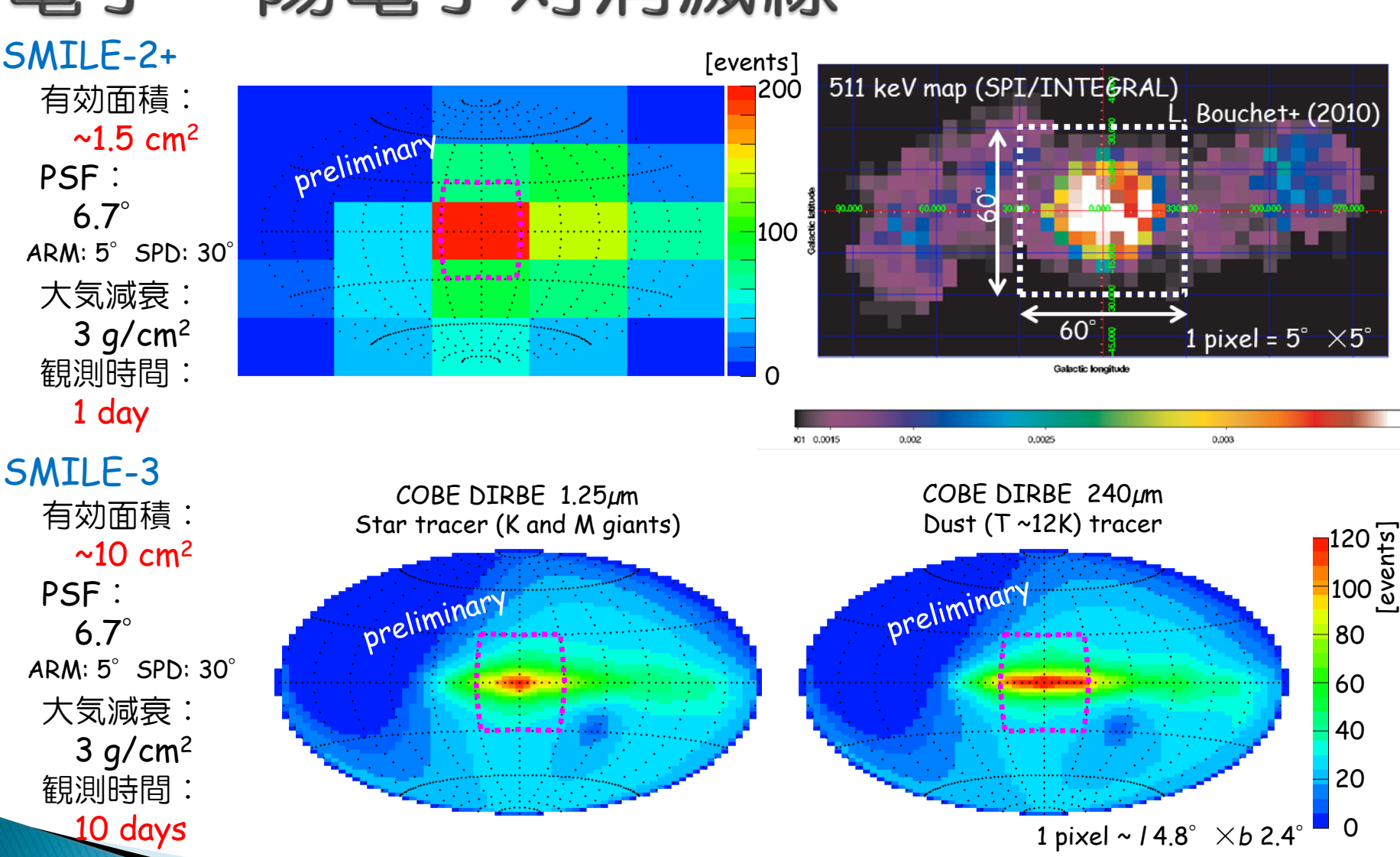
銀河中心領域に有意な超過が期待できる

# Expected observation with satellite



We can discuss the detail of 1.8 MeV distribution with the PSF of 2 degrees.

# 電子 · 陽電子対消滅線



SMILE-2+:銀河中心領域に有意な超過が期待できるSMILE-3:詳細な分布についての議論が期待できる

# まとめ

- ▶ SMILE-2+/3へupgradeを計画中
  - シンチレータをガス容器内部に設置
  - 。 シンチレータの厚みを増大
    - ⇒ PSF・有効面積の向上、広帯域化



有効面積:~2 cm2 (<400 keV) PSF:~5度 (662 keV)

観測対象:銀河中心領域からの電子陽電子対消滅線 @ Alice Springs

かに星雲/Cyg X-1 @ Fort Sumner

▶ SMILE-3

有効面積:~10 cm2 (<500 keV) PSF:~5度 (662 keV)

観測対象:銀河面に広がる<sup>26</sup>AI

電子陽電子対消滅線の銀河面分布など

改良に向けて

。 ガス検出器の改良: MEMS技術による高ゲイン・高位置分解能 $\mu$ -PICの開発 (21 $\alpha$ SG-9)

DAQの改良: ETCCにおけるTPCトリガーでの読み出し回路の開発 (23aSP-4)

 $_{\circ}$  シンチレータの改良:  $\mathsf{TP}\mathcal{C}$ トリガーでの読み出しに向けた $\mathsf{MPP}\mathcal{C}$ シンチカメラの開発 (23 $_{\mathsf{a}}\mathsf{SP-5}$ )





Thank you for your attention!

http://www-cr.scphys.kyoto-u.ac.jp/research/MeV-gamma/wiki